

## PAPER DETAILS

TITLE: Sulu Ortamda Anodik Yükseltgenmeye Elde Edilen Nanotüp Yapılı TiO<sub>2</sub> Elektrotların Fotoelektrokimyasal Performansı

AUTHORS: Levent Özcan

PAGES: 694-701

ORIGINAL PDF URL: <https://dergipark.org.tr/tr/download/article-file/3189382>



## Sulu Ortamda Anodik Yükseltgenmeye Elde Edilen Nanotüp Yapılı TiO<sub>2</sub> Elektrotların Fotoelektrokimyasal Performansı

**Photoelectrochemical Performance of Nanotube Structured TiO<sub>2</sub> Electrodes Produced by Anodic Oxidation in Aqueous Medium**

Levent ÖZCAN \*<sup>ID</sup>

Afyon Kocatepe Üniversitesi, Mühendislik Fakültesi, Biyomedikal Mühendisliği Bölümü, Afyonkarahisar, Türkiye

© Afyon Kocatepe Üniversitesi

### Öz

Levha halindeki titanyum metalinin yüzeyinde iki farklı yöntemle TiO<sub>2</sub> oluşturulmuştur. Kullanılan ilk yöntem termal yükseltgenme ikincisi ise anodik yükseltgenmedir. Termal yükseltgenme ile TiO<sub>2</sub> eldesi, Ti levhanın hava ortamında laboratuvar fırınında 3 saat ısıtılmasıyla gerçekleştirilmiştir. Anodik yükseltgenme HF içeren sulu elektrolit içerisinde 20 V sabit gerilimin Ti levhaya uygulanmasıyla yapılmıştır. Anodik yükseltgeme yöntemi ile Ti levha yüzeyinde nanotüp yapılı amorf TiO<sub>2</sub> elde edilmektedir. Amorf yapının kristalleşmesi için hava ortamında laboratuvar fırınında 3 saat ısıtma uygulanmıştır. Her iki yöntemde de elektrotlar 400, 500, 550, 600, 650 ve 700 °C'de isıl muameleye tabi tutulmuştur. Elde edilen elektrotlar XRD ve SEM yöntemleri kullanılarak karakterize edilmiştir. XRD sonuçları, 500 °C'ye kadar kalsına edilen elektrotların yüzeyindeki TiO<sub>2</sub>'nın çögünün amorf yapıda olduğunu, 600 °C ve daha yüksek sıcaklıklarda kalsına edilenlerin çok büyük oranda kristal yapıda olduğunu göstermiştir. Hazırlanan elektrotların 0,5 M Na<sub>2</sub>SO<sub>4</sub> çözeltisinde UV ışığı altında fotoakım değerleri ölçülmüş ve photoelektrokimyasal performansları karşılaştırılmış olarak incelenmiştir. Farklı yöntemler kullanılarak ve farklı sıcaklıklarda elde edilen elektrotların performansları karşılaştırıldığında en yüksek fotoakım değeri, Ti levha yüzeyinde 20 dakikalık anodik yükseltgemeye üretilen ve 650 °C'de kalsına edilen elektrotla (TiNT-HF-650-20dk) elde edilmiştir. Anodik yükseltgenme yöntemiyle hazırlanan nanotüp yapılı TiO<sub>2</sub>'nın UV ışığı altında elde edilen fotoakım değerinin termal yükseltgenme ile elde edilene kıyasla 1,5 kata yakın daha yüksek olduğu belirlenmiştir. 20 dakikalık kısa bir sürede anodik yükseltgenme ile sulu ortamda nanotüp yapılı olarak elde edilebilen TiO<sub>2</sub> elektrodunun photoelektrokimyasal performansında kayda değer bir iyileşme olduğu belirlenmiştir.

**Anahtar Kelimeler:** TiO<sub>2</sub>; Fotoakım; Termal Yükseltgenme; Anodik Yükseltgenme; Nanotüp Yapılı TiO<sub>2</sub>; Photoelektrokimya.

### 1. Giriş

Pek çok alanda yaygın olarak kullanılan TiO<sub>2</sub>'nin photoelektrokimyasal sistemlerde kullanımıyla ilgili çalışmalarla dikkate değer bir artış vardır. Photoelektrokimyasal sensör uygulamaları (Özcan and Efe 2019, Syrek et al. 2019, Wang et al. 2022), organik

### Abstract

TiO<sub>2</sub> was formed on the surface of the titanium plate by two different methods. The first method used is thermal oxidation and the second is anodic oxidation. The production of TiO<sub>2</sub> by thermal oxidation was carried out by heating the Ti plate in an air environment in a laboratory oven for 3 hours. The anodic oxidation was carried out by applying a constant voltage of 20 V to the Ti Plate in an aqueous electrolyte containing HF. Nanotube-structured amorphous TiO<sub>2</sub> is obtained on the Ti plate by anodic oxidation method. To crystallize the amorphous structure, it was heated in the laboratory oven for 3 hours in an air environment. The electrodes were heat treated at 400, 500, 550, 600, 650, and 700 °C in both methods. The obtained electrodes were characterized using XRD and SEM methods. XRD results showed that most of the TiO<sub>2</sub> on the surface of the electrodes calcined up to 500 °C was amorphous, while those calcined at 600 °C and higher temperatures were largely crystalline. Photocurrent values of the prepared electrodes in 0.5 M Na<sub>2</sub>SO<sub>4</sub> solution were measured under UV light and their photoelectrochemical performances were examined comparatively. When the performances of the electrodes obtained by using different methods and at different temperatures were compared, the highest photocurrent value was obtained with the electrode (TiNT-HF-650-20min) produced by anodic oxidation for 20 minutes on the Ti plate surface and calcined at 650 °C. It was determined that the photocurrent value obtained under UV light of nanotube-structured TiO<sub>2</sub> prepared by the anodic oxidation method was approximately 1.5 times higher than that obtained by thermal oxidation. It has been determined that there is a remarkable improvement in the photoelectrochemical performance of the TiO<sub>2</sub> electrode, which can be obtained as a nanotube structure in an aqueous medium by anodic oxidation in a short time of 20 minutes.

**Keywords:** TiO<sub>2</sub>; Photocurrent; Thermal Oxidation; Anodic Oxidation; Nanotube Structured TiO<sub>2</sub>; Photoelectrochemistry.

kirleticilerin bozundurulması (Yılmaz et al. 2021, Zheng et al. 2022), güneş hücreleri (Sabzi and Mousavi Anijdan 2019, Vural et al. 2023) ve fotokatalizör (Tekin vd. 2016, Özcan et al. 2018) çalışmaları öne çıkan alanlar olarak görülmektedir. Photoelektrokimyasal çalışmalarda kullanılan malzemeler arasında TiO<sub>2</sub>'nin ayrı bir önemi

vardır. Çünkü  $TiO_2$  UV ışığı altında yüksek fotoelektrokimyasal aktivite göstermekte ve ışıkla uyarıldığında kuvvetli yükseltgeme gücüne sahip olmaktadır (Wang *et al.* 2009). Bu durum,  $TiO_2$ 'nin bant aralığı enerjisi ile açıklanabilir.  $TiO_2$ 'nin anataz, rutil ve brukit fazdaki yapılarının bant aralıkları sırasıyla 3,2 eV, 3,0 eV ve 3,1 eV'tur (Mahlambi *et al.* 2015). Geniş bant aralıklı bir yarı iletken olan  $TiO_2$  (3,0–3,2 eV) UV ışığı altında iyi çalışır (Arora *et al.* 2022).  $TiO_2$  yarı iletkeni, boş bir iletkenlik bandı ( $iB$ ) ve dolu bir değerlik bandı (DB) ile karakterize edilen elektronik yapısı nedeniyle farklı dalga boylarındaki ışığı absorplayan bir katalizör olarak kullanılır. Foto(elektro)katalitik süreçte, yarı iletkenin bant aralığına eşit veya bunu aşacak ışın enerjisiyle uyarılması, bir elektronun DB'den  $iB$ 'ye uyarılmasıyla sonuçlanır (Malato *et al.* 2009). Bu durumda, katalizörün yüzeyine göç edebilen, yüzeysel bölgelerde sıkışık kalan ve adsorbe edilen türlerle reaksiyona girebilen elektron-boşluk çiftleri ( $e^-/h^+$ ) oluşur [Herrmann 1999].  $TiO_2$ 'in DB'ında oluşan boşluklar, katalizörün yüzeyine bağlı su molekülleri veya hidroksil iyonları gibi elektron veren türlerle reaksiyona girerek, karşılaştıkları organik molekül vb. türlerin yükseltgenmesinden sorumlu olan hidroksil radikallerini ( $\cdot OH$ ) oluşturur (Zhang and Itoh 2006).

Ayrıca  $TiO_2$ 'in biyolojik uyumluluğunun iyi olması, pahalı olmaması, çevre açısından güvenli oluşu, kimyasal ve termal olarak kararlı olması onu biyomolekül immobilizasyonu için de uygun bir elektrot malzemesi yapmaktadır (Chen *et al.* 2010). Bu özelliklerinden dolayı  $TiO_2$  fotoelektrokimyasal çalışmalarda büyük bir öneme sahiptir. Bu nedenle de  $TiO_2$  temelli elektrotların performansının geliştirilmesi üzerine yoğun çaba sarf edilmektedir. Özellikle yüzey alanlarının artırılması bu elektrotların performansını artırmaktadır. Yüzey alanının artırılması için nanoboyutta üretime imkân veren yöntemlerin kullanılması ve geliştirilmesi üzerine son yıllarda daha fazla çalışılmaktadır (Ma *et al.* 2020, Çetinkaya *et al.* 2022, Durdu *et al.* 2023). Literatürde anodik yükseltgenme yoluyla nanotüp yapılı  $TiO_2$  eldesi etilen glikol (Alijani *et al.* 2021), gliserin, dimetil sülfovksit (Su *et al.* 2009) gibi organik çözüçüler içinde yapılmaktadır. Ayrıca, sulu ortamda elde edilen nanotüp yapılı  $TiO_2$ 'nin kullanıldığı farklı disiplinler ile ilgili çalışmalar da bulunmaktadır (Albu *et al.* 2008, Xing *et al.* 2010, Rios *et al.* 2022). Bu çalışmada, kolay ulaşılması ve ucuzluğu gibi etkenler dikkate alınmış ve nanotüp yapılı  $TiO_2$  eldesi için HF içeren sulu elektrolit ortamı tercih edilmiştir. Ayrıca farklı alanlardaki fotoelektrokimyasal temelli çalışmalarına yönelik bilgiler elde etmek amacıyla, Ti levha yüzeyinde nanotüp şeklinde üretilen  $TiO_2$  elektrotlar ile nanoyapılı olmayanların UV

ışığı altındaki fotoelektrokimyasal performansı karşılaştırılmış olarak incelenmiştir.

## 2. Materyal ve Metot

### 2.1 Cihaz ve malzemeler

Analitik saflıktaki kimyasallar Sigma-Aldrich ve Merck firmalarından satın alınmıştır. Çözeltilerin hazırlanmasında kullanılan deionize suyun direnci 18,2 M $\Omega$ 'dur. Fotoelektrokimyasal ölçümelerde referans elektrot olarak Ag/AgCl (3,0 M KCl), karıştırıcı elektrot olarak 1cmx1cm boyutlu Pt levha kullanılmıştır. Çalışma elektrodu olarak ise elde edilen  $TiO_2$  elektrotların 1cmx1cm'lik kısımları kullanılmıştır. Ölçümlerden önce elektrolit çözeltilerinden 5 dakika süreyle azot gazı geçirilmiştir. Fotoelektrokimyasal ölçümeler potansiyostat-galvanostat cihazı ile (Ivium marka, Vertex model) üç elektrotlu hücrede gerçekleştirilmiştir (Şekil 1). UV ışık kaynağı olarak yan yana konumlandırılmış 8 W'lık 3 tane floresan lambadan (Philips) yararlanılmıştır.

Levha halindeki Ti elektrotlarının temizlenmesi ultrasonik banyo (LC30, Elma) kullanılarak yapılmıştır. Düzenli bir karıştırma sağlanması gereğinde ve elektrot hazırlama işlemlerinde manyetik karıştırıcı (IKA) kullanılmıştır. Farklı sıcaklıklarda elektrotların hazırlanması sıcaklık programlamalı laboratuvar fırını (Protherm) kullanılarak gerçekleştirilmiştir. Anodik yükseltgeme ile elektrot hazırlaması doğru akım (DC) güç kaynağı (Meili, MCH-305D-II model, MCH Instrument) kullanılarak iki elektrotlu sistemde yapılmıştır. Elektrot karakterizasyonları için yapılan XRD analizleri Bruker marka D8 Advance model cihazla ve SEM ölçümleri FEI marka Nova NanoSEM 650 model cihazla yapılmıştır.

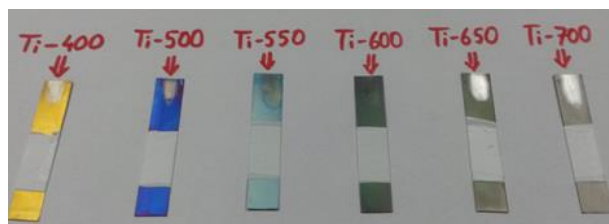


Şekil 1. Fotoelektrokimyasal ölçüm sistemi.

### 2.2 Termal yükseltgeme ile Ti levha yüzeyinde $TiO_2$ hazırlanması

Ticari olarak satın alınan Ti levhalar (0,127 mm kalınlıkta, % 99,7 saflıkta) 1cmx5cm boyutlarında kesilmiş ve ultrasonik su banyosunda sırasıyla aseton, etanol ve saf su

inceinde onar dakika temizlenmiştir. Oda sıcaklığında kurutulan bu elektrotlar kapalı bir ortamda muhafaza edilmişlerdir. Termal yükseltgeme işlemi Özcan vd. (2017)'nin çalışması temel alınarak yapılmıştır. Ti levha (1cmx5cm), yüzeylerinin termal yükseltgeme yöntemiyle ince bir  $TiO_2$  tabakasıyla kaplanması için hava atmosferinde 400 ile 700 °C arasında değişen sıcaklıklarda ısıl muameleye tabi tutulmuşlardır. ısıl muamelenin yapılacağı sıcaklığa dakikada 3 °Clik artışla ulaşmış ve sonrasında bu sıcaklıkta 3 saat bekletilmişlerdir. Fırın içindeki sıcaklık ortam sıcaklığına gelinceye kadar elektrotlar fırında bekletilmiştir (Özcan et al. 2017). Hazırlanan elektrotlar Ti-X olarak adlandırılmış olup burada 'X' uygulanan sıcaklığı °C cinsinden ifade etmektedir. Örneğin elektrot 600 °C'de hazırlanmış ise Ti-600 olarak isimlendirilmiştir. Şekil 2'de bu yöntemle farklı sıcaklıklarda hazırlanan elektrotlar görülmektedir. Elde edilen elektrotların UV ışığı altında sadece 1cmx1cm'lik kısmından sinyal elde edilmesini sağlamak amacıyla Şekil 2'de görüldüğü gibi elektrotların çözeltiye dalan diğer kısmı teflon bant ile sarılmıştır.



Şekil 2. Termal yükseltgenme ile Ti yüzeyinde farklı sıcaklıklarda hazırllanmış  $TiO_2$  elektrotlar.

### 2.3 Anodik yükseltgenme ile Ti levha yüzeyinde nanotüp yapısında $TiO_2$ hazırlanması

Anodik yükseltgeme, doğru akım güç kaynağı kullanılarak iki elektrotlu sistemde yapılmıştır. Anot olarak yükseltgenmenin gerçekleşeceği Ti metali ve katot olarak Pt levha kullanılmıştır. Anot ve katot arasındaki mesafe 2,0 cm'dir. Literatürde anodik yükseltgenme yöntemiyle nanotüp şeklinde  $TiO_2$  eldesi farklı çözücü sistemlerinde gerçekleştirilmektedir (Su et al. 2009, Alijani et al. 2021). Bu çalışmada çözücü olarak sulu elektrolit ortam tercih edilmiştir. Şekil 3'te anodik yükseltgenme işleminin gerçekleştirildiği sistem görülmektedir. Anodik oksidasyon sırasında elektrolitin karıştırılma hızı 200 devir/dakikadır.

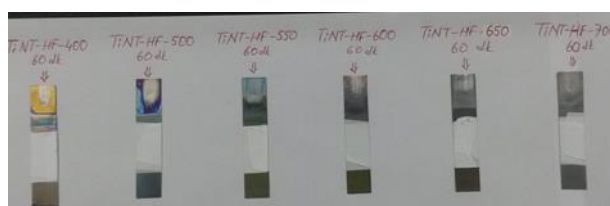
Anodik yükseltgeme, Xing vd. (2010) ve Özcan vd. (2017)'nin çalışmalarından faydalananarak gerçekleştirilmiş olup işlemin uygulanmasına ait ayrıntılı bilgiler şu şekildedir: Ti levhalar (1cmx5cm) ultrasonik su banyosunda sırasıyla aseton, etanol ve saf su içinde onar dakika temizlenip kurutulmuştur. Kurutulan Ti levhalar

hacimce % 10 HF, % 40 HNO<sub>3</sub> ve % 50 su içeren çözeltide 30 saniye bekletilip çıkarılmış ve saf su ile temizlenmiştir. Ardından ultrasonik olarak saf su içinde 5 dakika temizlenerek oda sıcaklığında kurutulmuştur. Yukarıdaki gibi temizlenip kurutulan Ti levhalar 0,15 M HF sulu çözeltisinde 20 V sabit gerilim belli bir süreyle uygulanmış ve levha yüzeyinde nanotüp şeklinde amorf veya  $TiO_2$  oluşturulmuştur.



Şekil 3. Anodik yükseltgenme işleminin uygulandığı iki elektrotlu sistem.

Bu yöntemle elde edilen elektrot Ti-NT-HF olarak gösterilmiştir. Oluşan amorf yapının kristalleşmesi için elektrotlara 400 ile 700 °C arasındaki sıcaklıklarda ısıl işlem uygulanmıştır (Özcan et al. 2017). Uygulanan ısıl işlem sonucu elde edilen elektrotlar Ti-NT-HF-X-Ydk şeklinde isimlendirilmiştir olup burada 'X' °C cinsinden uygulanan kalsinasyon sıcaklığını, Y ise dakika cinsinden elektroda uygulanan elektroliz süresini ifade etmektedir. Örneğin Ti-NT-HF-500-60dk, sulu çözeltide 60 dakika boyunca 20 V gerilim uygulanarak elde edilen ve sonra 500 °C'de ısıl muameleye tabi tutularak (3 saat) hazırlanan elektrotu ifade etmektedir. Şekil 4'te anodik yükseltgenmeye hazırlanıp farklı sıcaklıklarda ısıl muamele uygulanan elektrotlar görülmektedir.



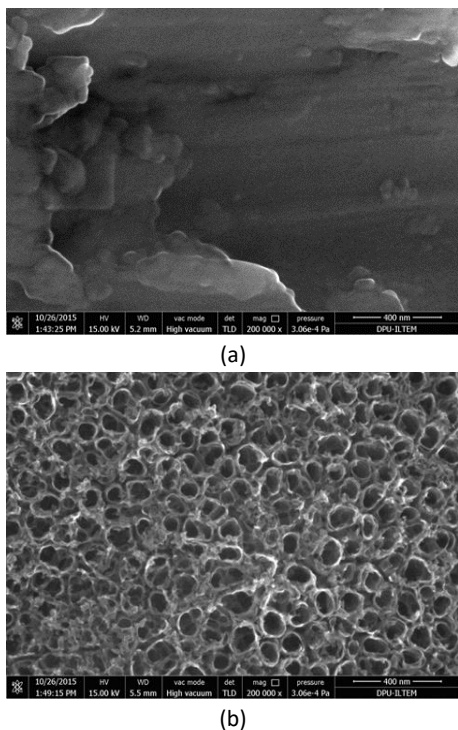
Şekil 4. Anodik yükseltgenme ile 60 dakika elektrolizle hazırlanmış ve farklı sıcaklıklarda kalsına edilmiş elektrotlar.

## 3. Bulgular

### 3.1. Nanotüp yapılı $TiO_2$ morfolojisi

Şekil 5(a)'daki SEM görüntüsü, anodik yükseltgenme işlemi öncesinde HF/HNO<sub>3</sub> çözeltisinde işlem görmüş Ti levha yüzeyine aittir. Anodik yükseltgenme öncesi ve sonrası arasındaki fark Şekil 5(a) ve 5(b)'nin

karşılaştırılmışıyla net bir şekilde görülmektedir. Şekil 5(b)'deki SEM görüntüsü anodik yükseltgenme sonrası Ti levha yüzeyinde oluşan nanotüp yapılı amorf  $TiO_2$ 'ye aittir. Nanotüp çapları 65-100 nm arasında ve nanotüp et kalınlığı ise 6-13 nm arasında değişmektedir.

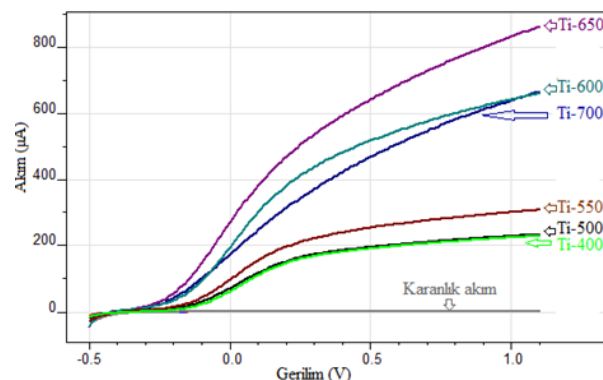


**Şekil 5.** Anodik yükseltgenme öncesi Ti levha yüzeyinin (a) ve Ti-HF-60dk-amorf elektrot yüzeyinin (b) SEM görüntüleri.

### 3.2. Termal yükseltgenmeyle elde edilen $TiO_2$ elektrotların fotoelektrokimyasal performansları

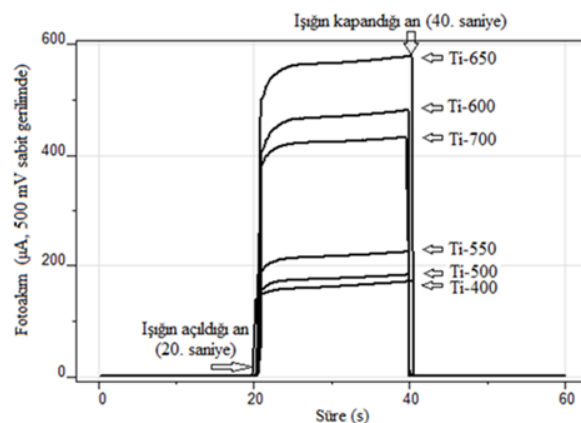
Ti bir levha yüzeyinde  $TiO_2$  oluşturulması için uygulanabilecek basit bir yöntem Ti metalinin yüzeyine oksijen varlığında belli bir süre için ışıl işlem uygulanmasıdır. Belli bir süre uygulanan bu işlem sonucu yüzeye ince bir tabaka halinde  $TiO_2$  oluşur. Oluşan  $TiO_2$ , alttaki Ti ile sağlam bir şekilde bağlı olup özellikle fotoelektrokimyasal çalışmalarında rahatlıkla kullanılabilmektedir. Fotoelektrokimyasal performansın iyileşmesini sağlamak için sıcaklık muamelesinden önce Ti metalinin yüzeyi farklı işlemlere tabi tutularak modifiye edilebilir. Özellikle yüzey alanının artmasını sağlamak amacıyla nanotüp şeklinde  $TiO_2$  oluşturulması önemli iyileşmeler sunabilecektir. Bu nedenle bu çalışmada ilk olarak termal yükseltgenme yöntemiyle elde edilen elektrotların fotoakım değerleri ölçülmüş ve ardından nanotüp yapılı elde edilenlerin fotoakım değerleri de belirlerek sonuçlar kıyaslamalı olarak değerlendirilmiştir. Bu amaçla termal yükseltgenme yöntemiyle farklı sıcaklıklarda hazırlanan elektrotlar (Ti-X) kullanılarak 0,50 M  $Na_2SO_4$  çözeltisinde UV ışığı altında doğrusal taramalı voltametrik ölçüm yapılmıştır (Şekil

6). Şekil 6 incelendiğinde en yüksek fotoakım değerine (0,50 V'ta 643  $\mu A$ ) Ti-650 elektrotu ile ulaşılmıştır. Şekil 6'daki voltamogramlar incelendiğinde Ti-X elektrotların fotoakım değerlerinin 300 mV'a kadar daha hızlı arttığı ve daha yüksek gerilimlere gidildikçe artış devam etmeye beraber artış hızında bir yavaşlama gerçekleştiği görülmektedir. Hem çok yüksek olmayan bir gerilim değeri olması hem de fotoakım değerinin makul bir seviyede belirlenebilmesi nedeniyle Ti-X elektrotlar ile sabit gerilimdeki (kronoamperometrik) fotoakım ölçümleri için 500 mV değerinin uygun olduğu değerlendirilmiştir.



**Şekil 6.** Termal yükseltgenme ile elde edilen elektrotlar ile 0,50 M  $Na_2SO_4$  çözeltisinde karanlıkta ve UV ışığında elde edilen doğrusal taramalı voltamografalar.

Şekil 7'de ise 500 mV sabit gerilimde Ti-X elektrotlar ile UV ışığı altında gerçekleştirilen kronoamperometrik ölçümler görülmektedir. Bu ölçümlelerde, başlangıçta karanlıkta ölçülen akım değeri çok düşük sevilerde iken UV ışığı açılıncı oluşan fotoakım nedeniyle sinyal değerinde ani bir artış meydana gelmektedir. Doğrusal taramalı voltametrik sonuçlar (Şekil 6) ile kronoamperometrik sonuçların (Şekil 7) uyumlu olduğu görülmektedir. Şekil 7 incelendiğinde 500 mV sabit gerilimde en yüksek fotoakım değerine Ti-650 ile (30. saniyede 566  $\mu A$ ) ulaşılmıştır.

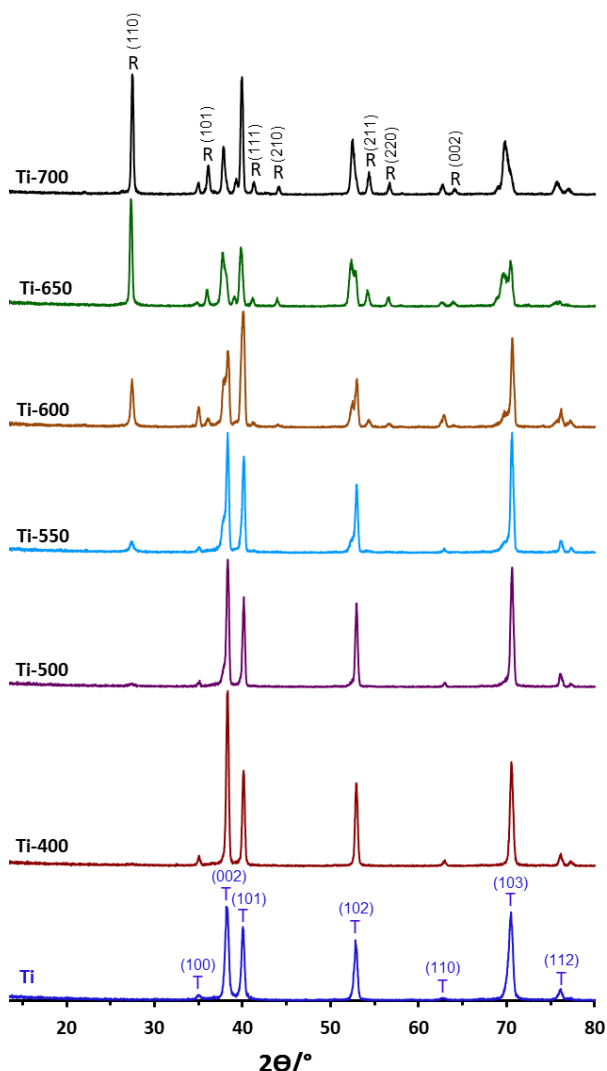


**Şekil 7.** Termal yükseltgenme ile elde edilen elektrotlar ile 500 mV sabit gerilimde 0,50 M  $Na_2SO_4$  çözeltisinde elde edilen kronoamperomografalar.

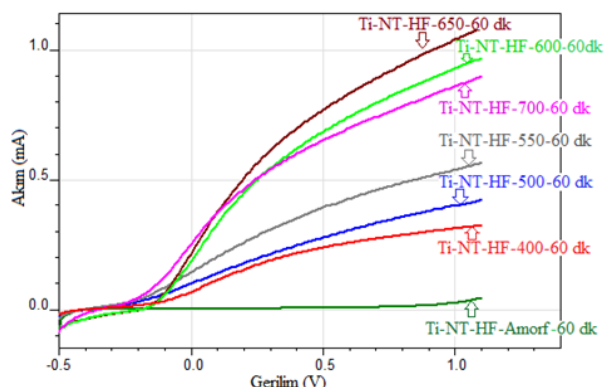
Ti ve Ti-X elektrotlar için yapılan XRD ölçümleriyle düşük sıcaklıklardan yüksek sıcaklıklara çıkışıkça nasıl bir değişim gerçekleştiği Şekil 8'de görülmektedir. XRD sonuçları,  $TiO_2$  oluşturmak için uygulanan sıcaklık arttırıldıkça amorf yapıdan kristal yapıya dönüşüm gerçekleştiği ve kristalinitenin giderek arttığını göstermektedir.  $TiO_2$  için  $2\theta = 27,46^\circ, 36,06^\circ, 41,23^\circ, 44,05^\circ, 54,36^\circ, 56,64^\circ$  ve  $62,76^\circ$  açıları için elde edilen pikler, rutil fazının (110), (101), (111), (210), (211), (220) ve (002) kristal düzlemlerine (JCPDS No: 00-004-0551) karşılık gelmektedir. Ti metali için  $2\theta = 34,98^\circ, 38,14^\circ, 40,04^\circ, 52,90^\circ, 62,90^\circ, 70,50^\circ$  ve  $76,16^\circ$  de elde edilen pikler ise titanyumun 00-044-1294 nolu JCPDS kart numarası ile uyumlu olup bu değerlere karşılık gelen hkl parametreleri (100), (002), (101), (102), (110), (103) ve (112)'dir. Ti-X numuneleri rutil fazını içermekte olup ısıl işlem sıcaklığının artmasıyla rutil faza ait pik şiddetlerinin arttığı görülmektedir. Ti-400 ve Ti-500 eser miktarda, Ti-550 ise az miktarda rutil fazı piki içerir. 600 °C ve üzerindeki sıcaklıklarda hazırlanan numunelerin (Ti-600, Ti650 ve Ti-700) rutil pikleri keskin ve belirgindir. Ti-X elektrotların hazırlanma sıcaklığı arttıkça rutil faza ait pikler giderek keskinleşmekte ve belirginleşmektedir (Özcan et al. 2013). Bir başka deyişle Ti yüzeyinde oluşan  $TiO_2$ 'ler, sıcaklık artışıyla amorf yapıdan kristal yapıya dönüşmektedir. Öyleki Ti-400 ve Ti-500 elektrotların yüzeyindeki  $TiO_2$ 'nin amorf karakteri yüksek iken Ti-600 ve daha yüksek sıcaklıkta üretilen elektrotların yüzeyindeki  $TiO_2$  çok büyük oranda kristal yapıdadır.

### 3.3. Anodik yükseltgenmeyle nanotüp yapısında elde edilen $TiO_2$ elektrotların fotoelektrokimyasal performansı

Literatürde Ti metalinin yüzeyinde  $TiO_2$  farklı morfolojik yapılarında da elde edilmektedir (Çetinkaya et al. 2022). Bunlar arasında nanotüp morfolojisinde elde edilen yapılar yaygın kazanmaktadır. Nanotüp yapısının elde edilmesi için özellikle anodik yükseltgenme yöntemi etkin ve yaygın olarak kullanılmaya başlanmıştır. Anodik yükseltgenme yönteminde elektrolit ortamı sulu veya susuz çözeltiler olabilmektedir (Smith et al. 2013). Bu çalışmada kolay ulaşılması, ucuzuğu ve yaygın kullanımı nedeniyle sulu elektrolitte çalışma tercih edilmiştir. Anodik yükseltgenme ile elde edilmiş 400-700 °C arası sıcaklıklarda ısıl muamele uygulanarak hazırlanan Ti-NT-HF-X-60dk elektrotların fotoelektrokimyasal performansları da 0,50 M  $Na_2SO_4$  çözeltisinde UV ışığı altında doğrusal taramalı voltametri ile belirlenmiştir (Şekil 9).



Şekil 8. Ti ve Ti-X elektrotlarının XRD diffraktogramları. R: Rutil Fazı; T: Titanyum.



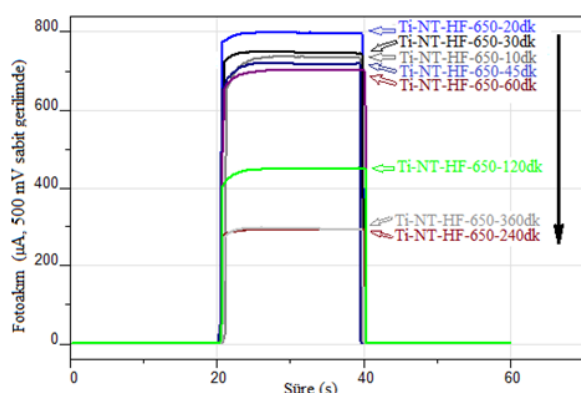
Şekil 9. Anodik yükseltgenme ile elde edilen nanotüp yapılı elektrotlar ile 0,50 M  $Na_2SO_4$  çözeltisinde UV ışığında elde edilen doğrusal taramalı voltamografalar.

Şekil 9 incelendiğinde kalsinasyon sıcaklığı 400 °C'den 650 °C'ye yükselirken fotoakım değerinde de artış gözlenmektedir ve en yüksek fotoakıma Ti-NT-HF-650-60dk ile (0,50 V'ta 777  $\mu$ A) ulaşıldığı görülmektedir. Sıcaklık 650 °C'nin üzerine çıkarıldığında ise fotoakım değerinde azalma olmuştur. Sıcaklık artışıyla beraber oluşan rutil faz

miktari ve kristalinite artmaka olup, 650 °C'ye kadarki sıcaklık değerine kadar bu artışın fotoakım değerinin de artmasına katkıda bulunduğu görülmektedir. Ancak 650 °C'den daha yüksek sıcaklıklarda kalsine edilen ve daha yüksek kristaliniteye sahip  $TiO_2$  oluşumunun fotoakım değerlerini daha fazla artırmayacağı değerlendirilmiştir. Şekil 9'daki değerler 60 dakikalık sabit elektroliz süresinde elde edilen Ti-NT-HF-X-60dk elektrotlara aittir. Nanotüp elde etmek için uygulanan elektroliz süresi de fotoakım değerini etkileyebilecek önemli bir parametredir. Bu nedenle elektroliz süresinin akıma etkisini incelemek amacıyla en yüksek fotoakımın elde edildiği sıcaklık olan 650 °C için farklı elektroliz süreleri uygulanarak elektrotlar (Ti-NT-HF-650-Ydk) hazırlanmıştır.

Bu elektrotlar (Ti-NT-HF-650-Ydk) kullanılarak 500 mV gerilimde elde edilen kronoamperometrik ölçümü Şekil 10'da görülmektedir. Şekil 10 incelendiğinde 500 mV sabit gerilimde en yüksek fotoakım (30. saniyede 791  $\mu A$ ) değerine Ti-NT-HF-650-20dk ile ulaşıldığı görülmektedir. Şekil 10'daki veriler, elektrot hazırlama süresinin 60 dakika kadar uzun olmasına gerek olmadığını çok daha kısa oksidasyon süreleri kullanılarak hazırlanan nanotüp yapılı  $TiO_2$  elektrotları ile de yeterli fotoakım değerlerine ulaşılabilirliğini göstermektedir.

Ti-NT-HF-650-Ydk elektrotlar ile elde edilen fotoakım değerleri karşılaştırılmış olarak Şekil 11'de verilmiştir. Şekil incelendiğinde 2 saat ve daha uzun sürelerde elde edilen elektrotların fotoakım değerlerinde ciddi azalmalar meydana gelmiştir. Dolayısıyla HF içeren sulu çözeltide nanotüp yapılı  $TiO_2$  elde ederken bu hususlara dikkat edilmelidir.

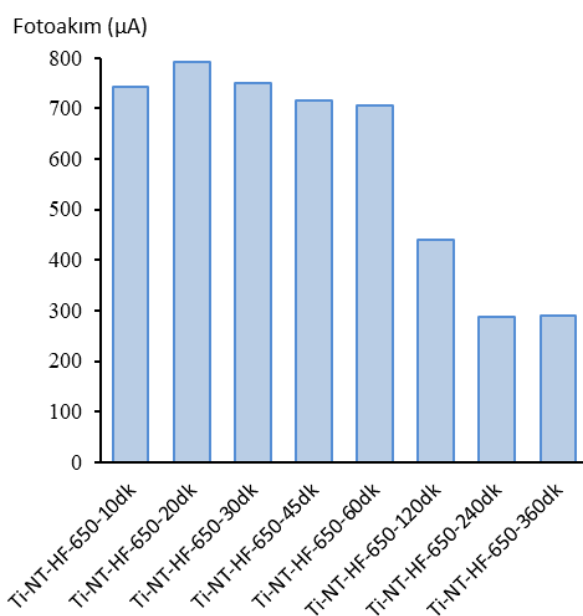


Şekil 10. Ti-NT-HF-650-Ydk elektrotlar ile 500 mV sabit gerilimde elde edilen kronoamperomogramlar ( $0,50 \text{ M Na}_2\text{SO}_4$  çözeltisinde, 20. ve 40. saniyeler arası UV ışığı uygulanmıştır).

#### 4. Tartışma ve Sonuç

Ti yüzeyinde  $TiO_2$  oluşturmak için termal yükseltgenme ve anodik yükseltgenme yöntemleri kullanılmış ve bu yöntemlerdeki önemli parametreler optimize edilerek elektrotların fotoelektrokimyasal performansları UV ışığı

altında incelenmiştir. Termal yükseltgenme yöntemiyle hazırlanan elektrotlardan en yüksek fotoakım değerine ( $566 \mu A$ ) 650 °C'de oluşturulan Ti-650 ile ulaşılmıştır. Anodik yükseltgenme ile HF içeren sulu çözeltide farklı elektroliz sürelerinde üretilen nanotüp yapısındaki elektrotlardan ise, 20 dakikalık yükseltgenme süresinde ve 650 °C'de elde edilen Ti-NT-HF-650-20dk elektrotu en yüksek fotoakım değerine ulaşmıştır ( $791 \mu A$ ). Böylece kullanılan anodik yükseltgenme yönteminin fotoakım değerini artırdığı tespit edilmiş ve anodik yükseltgenme süresinin de fotoakımı etkileyen önemli bir parametre olduğu anlaşılmıştır.



Şekil 11. Ti-NT-HF-650-Ydk elektrotlarının 500 mV sabit gerilimde kronoamperometrik yöntemle elde edilen fotoakım değerleri. ( $0,5 \text{ M Na}_2\text{SO}_4$  çözeltisinde elde edilen veriler üç ölçümün ortalamasıdır).

Bunun yanında 20 dakika gibi kısa bir elektroliz süresinin uygulanmasıyla etkin  $TiO_2$  nanotüpelerinin üretilebileceği görülmektedir. Termal yükseltgenme yöntemiyle kıyaslandığında anodik yükseltgenme yönteminin  $TiO_2$ 'nin UV ışığı altındaki fotoakım değerini 1,5 kata yakın artırdığı görülmektedir. Dolayısıyla nanotüp yapılı olarak elde edilen bu elektrotların fotoelektrokimyasal çalışmaların çoğunda etkin olarak kullanılması mümkündür. Çevre kirleticilerinin ileri yükseltgenme işlemleriyle zararsız hale getirilmesi, fotoelektrokimyasal sensör ve biyosensörlerin üretilmesi, güneş hücreleri vb. alanlar bu konular arasında yer almaktadır.

#### Etik Standartlar Bildirgesi

Yazar tüm etik standartlara uygun olduğunu beyan eder.

#### Yazarlık Katkı Beyanı

Yazar: Fikir Sahibi, Araştırma, Metodoloji, Deney, Analiz ve yorumlama, Yazma

**Çıkar Çatışması Beyanı**

Yazarın bu makalenin içeriğiyle ilgili olarak beyan edeceği hiçbir çıkar çatışması yoktur.

**Verilerin Kullanılabilirliği**

Bu çalışma sırasında oluşturulan veya analiz edilen tüm veriler, yayınlanan bu makaleye dâhil edilmiştir.

**Teşekkür**

Bu araştırma Afyon Kocatepe Üniversitesi Bilimsel Araştırma Projeleri Koordinatörlüğü tarafından desteklenmiştir (Proje No: 13.FENED.09)

**5. Kaynaklar**

Albu, S.P., Ghicov, A., Aldabergenova, S., Drechsler, P., LeClere, D., Thompson, G.E., Macak, J.M. and Schmuki, P., 2008. Formation of double-walled  $TiO_2$  nanotubes and robust anatase membranes. *Advanced Materials*, **20(21)**, 4135 – 41393.  
<https://doi.org/10.1002/adma.200801189>

Alijani, M., Sopha, H., Ng, S. and Macak, J.M., 2021. High aspect ratio  $TiO_2$  nanotube layers obtained in a very short anodization time. *Electrochimica Acta*, **37620**, Article number 138080.  
<https://doi.org/10.1016/j.electacta.2021.138080>

Arora, I., Chawla, H., Chandra, A., Sagadevan, S. and Garg, S., 2022. Advances in the strategies for enhancing the photocatalytic activity of  $TiO_2$ : Conversion from UV-light active to visible-light active photocatalyst. *Inorganic Chemistry Communications*, **143**, Article number 109700.  
<https://doi.org/10.1016/j.inoche.2022.109700>

Chen, D., Zhang, H., Li, X. and Li, J., 2010. Biofunctional titania nanotubes for visible-light-activated photoelectrochemical biosensing. *Analytical Chemistry*, **82**, 2253-2261.  
<https://doi.org/10.1021/ac9021055>

Çetinkaya, S., Khamidov, G., Özcan, L., Palmisano, L. and Yurdakal, S., 2022. Selective photoelectrocatalytic oxidation of glycerol by nanotube, nanobelt and nanospunge structured  $TiO_2$  on Ti plates. *Journal of Environmental Chemical Engineering*, **10(2)**, Article number 107210.  
<https://doi.org/10.1016/j.jece.2022.107210>

Durdu, S., Yalçın, E., Altinkök, A. and Çavuşoğlu, K., 2023. Characterization and investigation of electrochemical and biological properties of antibacterial silver nanoparticle-deposited  $TiO_2$  nanotube array surfaces. *Scientific Reports*, **13(1)**, Article number 4699.  
<https://doi.org/10.1038/s41598-023-31937-6>

Herrmann J.M., 1999. Heterogeneous photocatalysis: Fundamentals and applications to the removal of various types of aqueous pollutants. *Catalysis Today*, **53**, 115–129.  
[https://doi.org/10.1016/S0920-5861\(99\)00107-8](https://doi.org/10.1016/S0920-5861(99)00107-8)

Ma, X., Chen, Q., Liu, G., Zhou, Y., Ma, D., Xin, S., Yu, C., Zhang, B. and Xin, Y. 2020. Construction of netlike 3D Z-scheme photoelectrodes with improved photocatalytic performance based on g-C<sub>3</sub>N<sub>4</sub> nanosheets modified  $TiO_2$  nanobelt-tubes. *Chemical Engineering Science*, **22623**, Article number 115844.  
<https://doi.org/10.1016/j.ces.2020.115844>

Mahlambi M. M., Ngila C. J. and Mamba, B. B., 2015. Recent developments in environmental photocatalytic degradation of organic pollutants: The case of titanium dioxide nanoparticles-A review. *Journal of Nanomaterials*, Article ID 790173.  
<https://doi.org/10.1155/2015/790173>

Malato S., Fernández-Ibáñez, P., Maldonado M.I., Blanco J. and Gernjak, W., 2009. Decontamination and disinfection of water by solar photocatalysis: Recent overview and trends. *Catalysis Today*, **147**, 1–59.  
<https://doi.org/10.1016/j.cattod.2009.06.018>

Özcan L., Yurdakal S., Augugliaro V., Loddo V., Palmas S., Palmisano G. and Palmisano L., 2013. Photoelectrocatalytic selective oxidation of 4-methoxybenzyl alcohol in water by  $TiO_2$  supported on titanium anodes. *Applied Catalysis B: Environmental*, **(132–133)**, 535–542.  
<https://doi.org/10.1016/j.apcatb.2012.12.030>

Özcan L., Yalçın P., Alagöz O. and Yurdakal S., 2017. Selective photoelectrocatalytic oxidation of 5-(hydroxymethyl)-2-furaldehyde in water by using Pt loaded nanotube structure of  $TiO_2$  on Ti photoanodes. *Catalysis Today*, **281**, 205–213.  
<https://doi.org/10.1016/j.cattod.2016.07.024>

Özcan, L., Mutlu, T. and Yurdakal, S., 2018. Photoelectrocatalytic degradation of paraquat by Pt loaded  $TiO_2$  nanotubes on Ti anodes. *Materials*, **11(9)**, Article number 1715.  
<https://doi.org/10.3390/ma11091715>

Özcan, L. and Efe, E., 2019. Photoelectrochemical determination of paracetamol by using  $TiO_2$  modified FTO Electrodes. *Analytical and Bioanalytical Electrochemistry*, **11(8)**, 1117-1128.

Rios, J., Santini, V.N., Pereira, K.D., Luchessi, A.D., Lopes, É.S.N., Caram, R. and Cremasco, A., 2022. Self-

- organized TiO<sub>2</sub> nanotubes on Ti-Nb-Fe alloys for biomedical applications: Synthesis and characterization. *Electrochemistry Communications*, **138**, Article number 107280.  
<https://doi.org/10.1016/j.elecom.2022.107280>
- Sabzi, M. and Mousavi Anijdan, S.H., 2019. Microstructural analysis and optical properties evaluation of sol-gel heterostructured NiO-TiO<sub>2</sub> film used for solar panels. *Ceramics International*, **45(3)**, 3250-3255.  
<https://doi.org/10.1016/j.ceramint.2018.10.229>
- Smith, Y.R., Ry, R.S., Carlson, K., Sarma, B. and Misra, M., 2013. Self-ordered titanium dioxide nanotube arrays: anodic synthesis and their photo/electro-catalytic applications. *Materials*, **6**, 2892-2957.  
<https://doi.org/10.3390/ma6072892>
- Su, Y.-L., Zhang, F.-B., Du, Y.-X. and Xiao, Y.-T., 2009. Preparation of TiO<sub>2</sub> nanotubes by anodization and its photocatalytic properties. *Chinese Journal of Inorganic Chemistry*, **25(11)**, 1994-2002.
- Syrek, K., Skolarczyk, M., Zych, M., Sołtys-Mróz, M. and Sulka G.D., 2019. A photoelectrochemical sensor based on anodic TiO<sub>2</sub> for glucose determination. *Sensors*, **19(222)**, Article number 4981.  
<https://doi.org/10.3390/s19224981>
- Tekin, T., Tekin, D. ve Kızıltaş, H., 2016. TiO<sub>2</sub> ve AgS katkılı TiO<sub>2</sub> nanotüp fotokatalizörlerinin sentezlenmesi ve karakterizasyonu. *Çukurova University Journal of the Faculty of Engineering and Architecture*, **31(ÖS 2)**, ÖS 181-ÖS 186.  
<https://doi.org/10.21605/cukurovauummfd.316757>
- Vural, K.B., Kaderoğlu, Ç. and Ellialtıoğlu, Ş., 2023. Density functional theory investigation of Pr adsorption on the anatase TiO<sub>2</sub>(101) surface for photovoltaic applications. *Applied Surface Science*, **613**, Article number 156042.  
<https://doi.org/10.1016/j.apsusc.2022.156042>
- Wang, G.-L., Xu, J.-J., Chen, H.-Y. and Fu, S.-Z., 2009. Label-free photoelectrochemical immunoassay for α-fetoprotein detection based on TiO<sub>2</sub>/Cds hybrid. *Biosensors and Bioelectronics*, **25**, 791-796.  
<https://doi.org/10.1016/j.bios.2009.08.027>
- Wang, M., Zhan Y., Wang H., Zhang, C., Li G. and Zou, L., 2022. A photoelectrochemical sensor for glutathione based on Bi<sub>2</sub>S<sub>3</sub>-modified TiO<sub>2</sub> nanotube arrays. *New Journal of Chemistry*, **46(17)**, 8162-8170.  
<https://doi.org/10.1039/D1NJ0604 5G>
- Xing, L., Jia, J., Wang, Y., Zhang, B. and Dong, S., 2010. Pt modified TiO<sub>2</sub> nanotubes electrode: Preparation and electrocatalytic application for methanol oxidation. *International Journal of Hydrogen Energy*, **35**, 12169-12173.  
<https://doi.org/10.1016/j.ijhydene.2010.07.162>
- Yılmaz, H.Ç., İlhan C., Akgeyik E. and Erdemoğlu S., 2021. Preparation and characterization of Co doped TiO<sub>2</sub> for efficient photocatalytic degradation of ibuprofen. *Journal of the Turkish Chemical Society Section A: Chemistry*, **8(2)** 553-566.  
<https://doi.org/10.18596/jotcsa.855107>
- Zhang F.-S. and Itoh, H., 2006. Photocatalytic oxidation and removal of arsenite from water using slag-iron oxide-TiO<sub>2</sub> adsorbent. *Chemosphere*, **65**, 125-131.  
<https://doi.org/10.1016/j.chemosphere.2006.02.027>
- Zheng C., Lin J., Song X., Gan Q. and Lin X., 2022. TiO<sub>2</sub>-Nanoparticle-shelled light-driven microcleaner for fast and highly efficient degradation of organic pollutants. *ACS Applied Nano Materials*, **5(11)**, 16573-16583.  
<https://doi.org/10.1021/acsanm.2c03659>